



اثر زمان آسیاکاری بر ساختار، اندازه‌ی ذرات و ریخت‌شناسی مونتموریلونیت

مریم ابارشی

گروه شیمی، دانشگاه پیام نور، صندوق پستی ۱۹۳۹۵-۳۶۹۷ تهران، ایران

(دریافت مقاله: ۹۵/۱/۲۹، نسخه نهایی: ۹۵/۳/۳۱)

چکیده: در این پژوهش، اثر آسیاکاری بر ساختار، اندازه‌ی ذرات و ریخت‌شناسی خاکرس مونتموریلونیت مورد بررسی قرار گرفت. بدین منظور نخست مونتموریلونیت خردباری شده با روش‌های پراش پرتو ایکس، طیف‌سنجه فوریه فروسرخ و میکروسکوپ الکترونی روبشی سرشت‌یابی، و سپس با استفاده از یک آسیای ماهواره‌ای پرانرژی، در زمان‌های ۱ تا ۶۰ ساعت آسیاکاری شد. پس از آن ساختار، اندازه‌ی ذرات و ریخت‌شناسی همه‌ی نمونه‌ها به روش‌های پراش پرتو ایکس، طیف‌سنجه فوریه فروسرخ، و میکروسکوپی‌های الکترونی عبوری و روبشی بررسی شد. نتایج نشان داد که آسیاکاری سبب کوچک شدن اندازه‌ی ذرات خاکرس، جدا شدن صفحات و ایجاد بی‌نظمی در ساختار آن و تبدیل ساختار بلورین به بی‌ریخت می‌شود. همچنین ریخت‌شناسی ذرات خاکرس در اثر آسیاکاری به مدت ۶۰ ساعت، از حالت لایه‌ای به کروی شکل تغییر می‌پابد.

واژه‌های کلیدی: خاکرس مونتموریلونیت؛ آسیای ماهواره‌ای پرانرژی؛ ریخت‌شناسی.

فرایندهای صنعتی مورد توجه قرار گرفته است [۸-۶].

یکی از کاربردهای گسترده‌ی خاکرس، تقویت ویژگی‌های نانوکامپوزیت‌ها از طریق افزودن نانوذرات خاکرس به عنوان پرکننده به زمینه‌ی پلیمری است. صفحات خاکرس به دلیل داشتن سطح گستردگی، هنگامی که در زمینه پلیمری توزیع می‌شوند، ویژگی‌های خاصی نظیر ویژگی‌های گرمایی، مکانیکی، فیزیکی، الکتریکی، و بخصوص نفوذناپذیری را از خود نشان می‌دهند. در این میان نانوکامپوزیت‌های پلیمری حاصل از افزوده شدن نانوذرات مونتموریلونیت، به علت دارا بودن ویژگی‌های مکانیکی فوق العاده، پایداری گرمایی بالا، و اشتغال-پذیری پایین بسیار مورد توجهند.

از جمله کاربردهای نانوکامپوزیت‌های پلیمر- خاکرس می-توان به صنایع بسته‌بندی، پوشش دهی، تولید قطعات اتومبیل، صنایع نظامی، و هوا فضا اشاره کرد [۸].

مقدمه

ویژگی‌هایی همچون سطح ویژه‌ی بالا، پایداری شیمیایی و مکانیکی، ساختار لایه‌ای، جذب سطحی بالا، ظرفیت تبادل کاتیونی بالا، فراوانی، و ارزان بودن، سبب شدن تا خاکرس‌ها به عنوان یک ماده‌ی مناسب برای فرایند جذب، حذف مواد آلاینده‌ی آلی، و فلزات سنگین استفاده شوند [۳-۱]. همچنین قدرت جذب قابل توجه این مواد باعث استفاده گسترده‌ی آنها در برنامه‌های کاربردی محیط زیست شده است [۴]. مونت-موریلونیت از جمله کانی‌های رسی فیلوسیلیکاتی است که از لایه‌های سیلیکات با ضخامت ۱ نانومتر و طول بین ۰/۲ تا ۴ میکرومتر تشکیل شده است و ساختار لایه‌ای آن شامل یک لایه‌ی هشت‌وجهی آلومیناست که بین دو لایه‌ی چهار وجهی سیلیکاتی قرار گرفته است [۵]. مونتموریلونیت یک خاکرس با سطح ویژه و ظرفیت تبادل کاتیونی بالا، به همراه تورم پذیری، جذب و پایداری گرمایی زیاد است که در بسیاری از

بررسی کردند. نتایج آنها حاکی از مقاومت بیشتر مونت-موریلوبنیت در برابر تخریب مکانیکی بود. همچنین در پژوهش آنها شکسته شدن لایه‌ها در مونتموریلوبنیت پس از ۳ ساعت آسیاکاری مشاهده شد، در حالی که این رخداد در خاکرس اصلاح شده پس از ۲ ساعت آسیاکاری صورت گرفت. لی و همکاران [۱۶] تغییرات مونتموریلوبنیت اصلاح شده را به وسیله‌ی یون‌های آلکیل آمونیوم با آسیاکاری در آب و کروزن مورد بررسی قرار دادند. نتایج طرح پراش پرتو ایکس در بررسی آنها نشان داد که آسیاکاری یک فرایند فیزیکی موثر در کاهش اندازه‌ی ذرات خاکرس است و باعث قرار گرفتن یون‌های آمونیوم بین صفحات می‌شود. علاوه بر این بهینه زمان آسیاکاری در هر دو سیستم آب و کروزن ۶ ساعت گزارش شد. آسیاکاری در دو مونتموریلوبنیت مانند تغییر دودوبک و همکاران [۹] اثر کاهش اندازه‌ی ذرات و تغییر ساختار را با روش آسیاکاری ماهواره‌ای پرانرژی بر چند خاک-رس مختلف بررسی کردند. تغییرات زیادی در اندازه‌ی ذرات، ریخت‌شناسی، ساختار و در نتیجه ویژگی‌های فیزیکو شیمیایی نمونه‌ها مشاهده شد. آنها نشان دادند که کاهش اندازه ذرات در نتیجه آسیاکاری باعث افزایش مساحت سطح ویژه و ظرفیت تبادل یونی در همه نمونه‌ها می‌شود.

با وجود پژوهش‌های زیاد صورت گرفته در زمینه اثر آسیاکاری مکانیکی بر ویژگی‌های متفاوت خاکرس، گزارشات اندکی در زمینه اثر آسیاکاری پرانرژی بر خاکرس مونت-موریلوبنیت و بررسی تغییرات ریخت‌شناسی و ساختاری آن در متون علمی وجود دارد. هدف این پژوهش بررسی ساختار، اندازه‌ی ذرات، و ریخت‌شناسی خاکرس مونتموریلوبنیت بر اثر آسیاکاری ماهواره‌ای پرانرژی در زمان‌های متفاوت آسیاکاری است. بدین منظور نخست خاکرس خردباری شده با روش‌های مختلف مشخصه‌یابی شد. سپس خاکرس مونت-موریلوبنیت با استفاده از یک آسیای ماهواره‌ای پرانرژی، در زمان‌های متفاوت آسیاکاری شد. پس از آن اثر زمان آسیاکاری بر ساختار، اندازه ذرات و ریخت‌شناسی خاکرس مورد بررسی و بحث قرار گرفت.

مواد و روش تجربی

در این پژوهش از خاکرس مونتموریلوبنیت استفاده شد. برای شناسایی خاک رس اولیه، نخست حذف کربنات‌ها، مواد آلی و

بسیاری از کاربردهای خاکرس به اندازه‌ی ذرات و ویژگی‌های سطحی آنها وابسته است. ذرات خاکرس با اندازه‌ی کوچک به علت افزایش مساحت سطح و فعالیت سطحی، به عنوان کاتالیزور مناسب‌بند و کاربردهای زیادی دارند [۹]. نانوذرات رسی در تولید لوازم آرایشی، داروسازی، تصفیه آب، سفالگری، و پوشش‌ها مورد استفاده قرار می‌گیرند [۱۰]. از طرف دیگر ساییدن خاک رس در صنعت به منظور داشتن ذراتی با اندازه کوچک و یکنواخت انجام می‌شود [۱۱]. آسیاکاری یک روش سایشی با انرژی بالاست که با مزایایی همچون مقرن به صرفه بودن اقتصادی، سازگاری زیاد زیست محیطی، سادگی روش، قابل استفاده برای مواد مختلف، و کارایی بالا به عنوان یک روش تهیه‌ی استاندارد در فلزگری پودر و نیز تهیه‌ی پودر نانوخاکرس استفاده می‌شود. آسیاکاری پرانرژی با سرعتهای مختلف موجب تغییرات مکانوشیمیایی زیادی در مواد می‌شود. کاهش اندازه‌ی ذرات، اصلاح ساختار و فعالیت‌های مکانوشیمیایی مانند تغییر ظرفیت تبادل کاتیونی، فعالیت کاتالیزوری و انحلال در اثر آسیاکاری برای خاکرس گزارش شده‌اند که منجر به تغییرات زیادی در ویژگی‌های کلولی‌بود و سطحی می‌شود [۱۲].

بررسی ریخت‌شناسی و ساختار خاکرس به علت کاربردهای گسترده‌ی آنها بسیار مورد توجه پژوهشگران قرار گرفته است که این کاربردها به اندازه ذرات، نسبت سطح ذرات، و ویژگی‌های سطحی آنها وابسته است [۱۲]. در متون علمی گزارش‌های زیادی در زمینه اثر آسیاکاری بر ساختار و ویژگی‌های شیمی فیزیکی انواع خاکرس وجود دارد. فروست و همکاران [۱۳] اثر آسیاکاری ماهواره‌ای پرانرژی بر خاکرس کائولینیت را تا زمان ۱۰ ساعت بررسی کردند. نتایج طرح پراش پرتو ایکس نشان داد که شدت قله‌ی مربوط به دسته صفحه (۰۰۱) ابتدا کاهش یافته و سپس از بین می‌رود که نشان دهنده‌ی لایه لایه شدن ذرات کائولینیت است. مانی و همکارانش [۱۴] از دو روش آسیاکاری و امواج فرماحتی برای تهیه نانوذرات خاک رس کلوزیت ۱۵A استفاده کردند. افزایش در مساحت سطح ویژه، بدون استفاده از امواج فرماحتی مشاهده نشد که علت آن انباسته شدن ذرات در غیاب امواج گزارش شد. هرآکوا و همکاران [۱۵] اثر آسیاکاری را بر مونتموریلوبنیت و مونتموریلوبنیت اصلاح شده به وسیله‌ی یک آسیای ارتعاشی

نشان می‌دهد. چنانکه در شکل دیده می‌شود در حالت بهنجار قله‌ی پرقدرت به گروه صفحه‌ی (۰۰۱) خاک رس در موقعیت ۲۰ حدود ۷° است. پیدایش قله در این ناحیه نشان دهنده‌ی فاصله لایه‌ها برابر با حدود ۱۳ آنگستروم است. با بررسی پراش پرتو ایکس این تیمارها، می‌توان نتیجه گرفت که خاک رس اولیه مونتموریلوئنیت است. شکل ۲ تصویر میکروسکوپ الکترونی روبشی از خاک رس مونتموریلوئنیت مورد استفاده در این پژوهش را در دو بزرگنمایی ۱۰۰۰ و ۵۰۰۰ برابر نشان می‌دهد. چنانکه مشاهده می‌شود ریخت شناسی خاک رس لایه‌ی اولیه و هیچ انباستی در ذرات مشاهده نمی‌شود و میانگین اندازه‌ی ذرات حدود ۴ میکرومتر است.

طیف FTIR خاک رس مونتموریلوئنیت، پیش و پس از آسیاکاری در گستره‌ی $400\text{--}4000\text{ cm}^{-1}$ در شکل ۳ نشان داده شده است. بنابر شکل ۳ الف، طیف خاک رس اولیه دارای یک قله در 3621 cm^{-1} است که این قله به ارتعاشات کششی گروه O-H طی پیوندهای Si-OH و Al-OH در ورقه‌های Hشت وجهی مونتموریلوئنیت است. قله‌ی 1620 cm^{-1} مربوط به ارتعاشات خمی گروه OH به خاطر آب جذب شده در نمونه وابسته است. قله‌های جذبی در ۲۹۱۰، ۲۸۴۰، و 1441 cm^{-1} به ترتیب به ارتعاشات کششی نامتقارن، ارتعاشات کششی متقارن و ارتعاشات خمی داخل صفحه گروه CH_2 - است. قله‌های 1085 cm^{-1} و 1002 cm^{-1} به ارتعاشات کششی خارج صفحه و داخل صفحه Si-O در ورقه‌های چهاروجهی مونتموریلوئنیت و قله‌های 879 cm^{-1} و 810 cm^{-1} به ترتیب به ارتعاشات کششی اندیشه اولیه و $Al\text{-Al-OH}$ و $Al\text{-Fe-OH}$ و $Si\text{-Al-O}$ و $Mg\text{-OH}$ وابسته‌اند. قله‌های وابسته به ارتعاشات کششی $Si\text{-O-Si}$ نیز در 482 cm^{-1} و 427 cm^{-1} مشاهده می‌شوند [۱۱، ۱۵، ۱۸ و ۱۹]. طیف‌های ارائه شده در شکل ۳ ب، پ، ت و ث، به ترتیب به طیف‌های FTIR نمونه خاک رس آسیاکاری شده به مدت ۱، ۲/۵، ۱۰ و ۲۰ ساعت آسیاکاری است. چنانکه در این شکل مشاهده می‌شود، در مکان قله‌های اصلی پس از آسیاکاری تغییری مشاهده نشد. بنابراین در پیوندهای شیمیایی موجود در خاک رس در اثر آسیاکاری تغییری ایجاد نمی‌شود. شدت برخی از قله‌ها در اثر آسیاکاری کاهش یافته است. در اثر آسیاکاری و به ویژه پس از ۲۰ ساعت آسیاکاری، قله‌های موجود در ناحیه‌های 3621 cm^{-1} و 482 cm^{-1} که به ترتیب به گروه

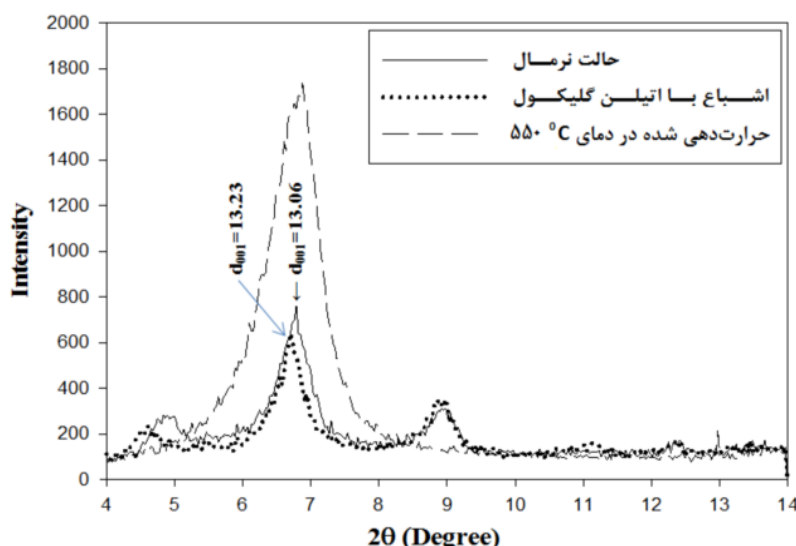
اکسیدهای آهن با کاربرد پیش تیمارهای مختلف انجام گرفت. سپس نمونه کاملاً شستشو داده شده و رس را جدا کردیم. در ادامه مقدار معینی از خاک رس در ۳ تیمار مختلف زیر قرار گرفت: اشباع با کلرید منیزیم ۱ نرمال (نمونه نرمال)، تیمار اتیلن گلیکول نمونه اشباع شده با کلرید منیزیم ۱ نرمال، و تیمار گرمایی آن در 55°C اشباع از پتاسیم. برای شناسایی نوع خاک رس از این سه نمونه طرح پراش پرتو ایکس (XRD) گرفته شد. پس از شناسایی نوع خاک رس، بررسی‌های بعدی روی نمونه خاک رس اولیه (بدون هرگونه تیمار) انجام گرفت. تهیه‌ی طرح‌های XRD این سه نمونه و نیز بررسی اثر زمان آسیاکاری بر ساختار خاک رس اولیه با استفاده از پراش سنج پرتو ایکس مدل PW1800 PHILIPS ساخت کارخانه با تابش CuK α (طول موج 1542 nm) در گستره $40^{\circ}\text{--}2\theta=4$ انجام شد. از طیفسنج تبدیل فوریه فروسرخ (FTIR) مدل Spectrum RX1 در گستره $400\text{--}4000\text{ cm}^{-1}$ و با قدرت تفکیک 2 cm^{-1} برای طیفسنجی FTIR استفاده شد. به منظور آسیاکاری خاک رس، از یک آسیای ماهواره‌ای پرانرژی استفاده شد. در این روش گلوله‌های فولادی زنگ نزن با قطراهای متفاوت مورد استفاده قرار گرفتند و ظرف آسیا از جنس استیل زنگ نزن بود. برای تهیه‌ی تمام نمونه‌ها نسبت وزنی پودر به گلوله ۱ به ۲۰ و سرعت آسیاکاری ۳۰۰ دور بر دقیقه انتخاب شد. همه‌ی نمونه‌ها در زمان‌های متفاوت صفر تا ۶۰ ساعت آسیاکاری شدند. از میکروسکوپ الکترونی عبوری LEO 912 AB (TEM) مدل برای مشاهده اندازه‌ی ذرات خاک رس، پیش و پس از آسیاکاری استفاده شد. ریخت‌شناسی خاک رس در زمان‌های مختلف آسیاکاری با میکروسکوپ الکترونی روبشی (SEM) مدل LEO 1450 VP موربد بررسی قرار گرفت. برای تهیه‌ی تصاویر میکروسکوپی، نمونه‌ها با لایه‌ی نازکی از پالادیم/طلاء با استفاده از دستگاه Polaron SC 7620 برای جلوگیری از تجمع بارها پوشش داده شدند.

بحث و بررسی

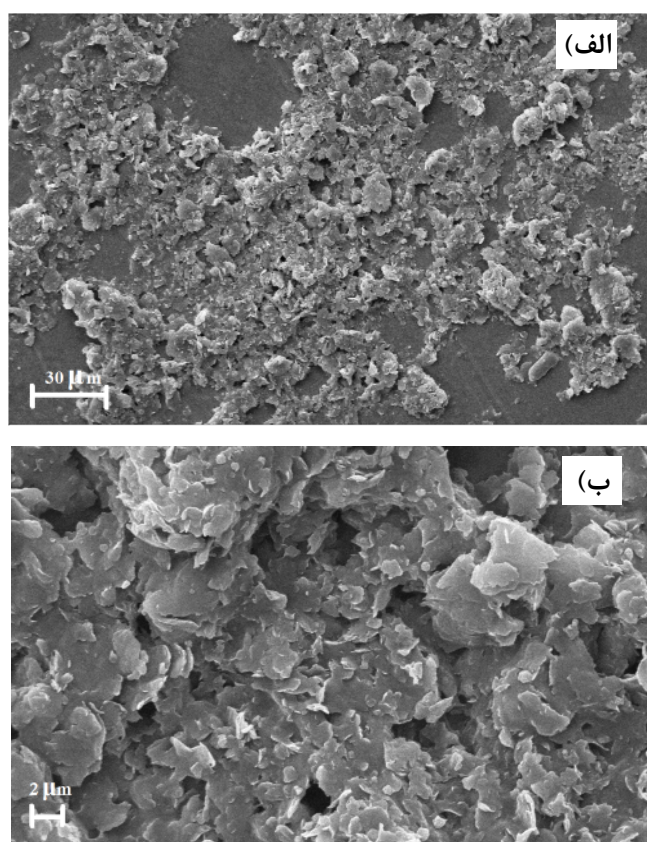
روش پراش پرتو ایکس از روش‌های بسیار متداول در تشخیص نوع کانی است [۱۷]. شکل ۱ طرح پراش پرتو ایکس خاک رس اولیه را در سه حالت بهنجار، اشباع با اتیلن گلیکول و گرمادهی شده در دمای 55°C در گستره 2θ بین ۴ تا ۱۴ درجه

(قله‌های موجود در نواحی ۷۶۱، ۸۱۰ و 879cm^{-1}) پس از ۲۰ ساعت آسیاکاری، می‌تواند به ایجاد بین‌نظمی و بی‌ریختی شدن ساختار خاکرس در نتیجه آسیاکاری باشد

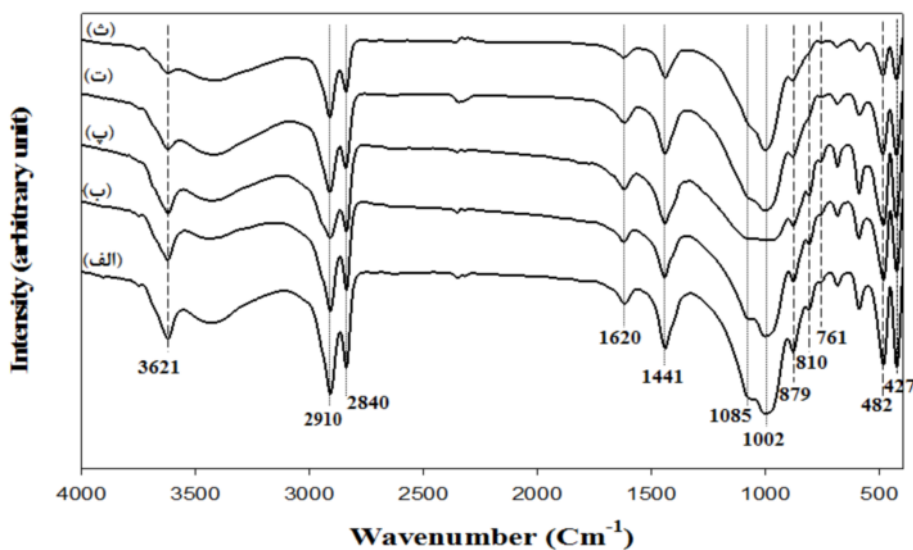
OH و Si-Al-O مربوط است، کاهش یافته است. این کاهش شدت را می‌توان به از بین رفتن نیروهای بین مولکولی ضعیف بین لایه‌ها در اثر آسیاکاری و لایه لایه شدن ورقه‌های خاک رس نسبت داد [۱۵]. همچنین کاهش شدت برخی از قله‌ها



شکل ۱ طرح پراش پرتو ایکس خاکرس در سه حالت بهنجار، اشباع با اتیلن گلیکول و گرمادهی شده در دمای 550°C .



شکل ۲ تصویر میکروسکوپ الکترونی روبشی خاک رس با بزرگنمایی (الف) ۱۰۰ و (ب) ۵۰۰ برابر.



شکل ۳ طیف‌های FTIR خاکرس (الف): پیش از آسیاکاری، و پس از آسیاکاری به مدت (ب) ۱ ساعت، (پ) ۲/۵ ساعت، (ت) ۱۰ ساعت و (ث) ۲۰ ساعت.

خاک رس پس از آسیاکاری به هم چسبیده شده و به صورت توده‌ای در آمداند و تشخیص لایه لایه شدن صفحات آن دشوار است. با این حال تفاوت زیادی بین تصاویر خاکرس، پیش و پس از آسیاکاری وجود دارد. طی آسیاکاری ماهواره‌ای، ذرات پودر در اثر انرژی ضربه‌ای بالا به شدت شکسته و جوش می‌خورند [۲۰]. چنانکه در این شکل مشاهده می‌شود، با آسیاکاری نمونه به مدت ۱۰ ساعت، ذرات کوچکتر شده و به هم جوش خورده‌اند. با ادامه‌ی آسیاکاری در طول زمان‌های بیشتر مشاهده می‌شود که کوچک شدن و انباست ذرات ادامه می‌یابد، به طوریکه ذرات جوش‌خورده کروی شکل به نظر می‌رسند. این اختلاف ریخت‌شناسی در مقایسه‌ی بین خاکرس آسیا نشده و خاکرس آسیا شده در زمان‌های متفاوت در تصاویر میکروسکوپ الکترونی روبشی به خوبی دیده می‌شود.

علاوه بر این شکل ۶ تصویر میکروسکوپ الکترونی عبوری مونت موریللونیت را پس از ۱۰ و ۶۰ ساعت آسیاکاری نشان می‌دهد. این تصاویر نشان دهنده‌ی کاهش اندازه ذرات خاکرس در اثر آسیاکاری است که با نتایج به دست آمده از طرح‌های پراش پرتو ایکس و تصاویر میکروسکوپ الکترونی روبشی همخوانی دارد. ذرات اولیه‌ی خاکرس با ریخت‌شناسی پولکی و لایه لایه‌ی (شکل ۲) در اثر آسیا به ذراتی تقریباً کروی و توده‌ای در گستره‌ی نانو تبدیل می‌شوند. چنانکه در شکل مشاهده می‌شود ذرات خاک رس اولیه با اندازه‌ی ذرات حدود ۴

شکل ۴ طرح پراش پرتو ایکس مونت‌موریللونیت را پیش و پس از آسیاکاری در زمان‌های ۱، ۵، ۲۰، ۴۰، و ۲۵ ساعت آسیاکاری نشان می‌دهد. قله اصلی مونت موریللونیت به گروه صفحه‌ی (۰۰۱) در موقعیت ۲۰ حدود ۷ درجه با فاصله‌ی لایه‌های حدود ۱۳ آنگستروم است. چنانکه در این شکل دیده می‌شود آسیاکاری سبب کاهش قابل توجهی در شدت قله‌های مونت‌موریللونیت و پس از ۱۰ ساعت سبب از بین رفتان این قله‌ها می‌شود. کاهش شدید شدت قله‌ها طی آسیاکاری حاکی از ایجاد بی نظمی، جدا شدن برگه‌های خاکرس از یکدیگر و در نتیجه کاهش فاز بلورین در نمونه است. بنابراین پس از ۱۰ ساعت آسیاکاری، بی نظمی افزایش یافته، ساختار بلورین خاکرس کاملاً از بین رفته و نمونه ساختار بی‌ریختی پیدا می‌کند. این نتایج با نتایج حاصل از طیفسنجی FTIR نیز همخوانی دارد. علاوه براین چنانکه در شکل ۴ ب نشان داده شد، با افزایش زمان آسیاکاری، قله‌ها پهن‌تر شده‌اند که نشان دهنده‌ی کاهش اندازه‌ی ذرات طی آسیاکاری است. نتایج طرح پراش پرتو ایکس این پژوهش مشابه نتایج فروست و همکاران [۱۲] است که کاهش در شدت قله‌های خاکرس کائولینیت بدون جای‌جا شدن مکان قله‌ها را در اثر آسیاکاری مشاهده کردند.

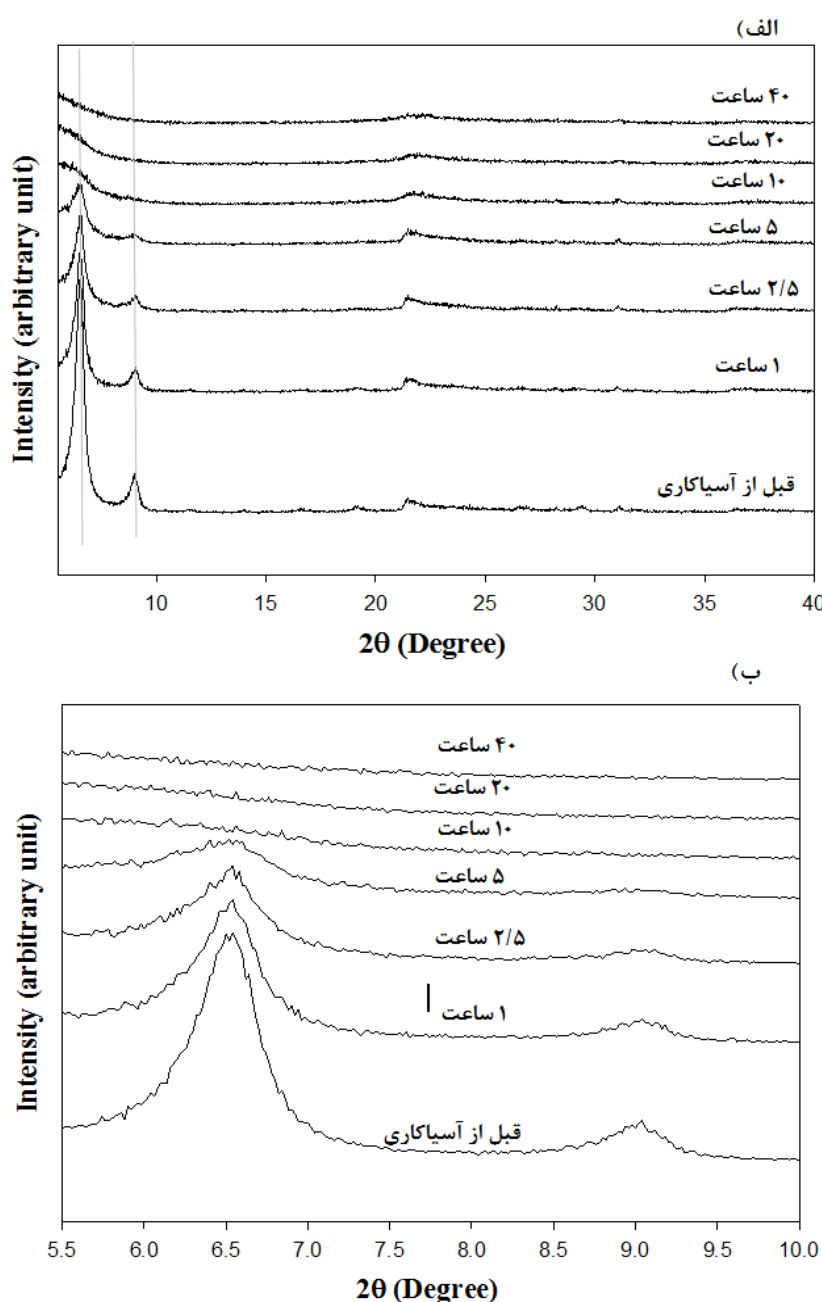
تصویر میکروسکوپ الکترونی روبشی خاکرس مونت‌موریللونیت پس از زمان‌های متفاوت آسیاکاری در شکل ۵ نشان داده شده است. چنانکه در این شکل دیده می‌شود، ذرات

بررسی ساختاری و ریختشناسی نمونه‌ها به روش‌های پراش پرتو ایکس، طیف سنجی فوریه فروسرخ، میکروسکوپ‌های الکترونی روبشی و عبوری انجام گرفت. مهم‌ترین نتایج حاصل از این بررسی عبارتند از: طیف‌های FTIR نمونه‌ها نشان‌دهنده جدا شدن ورقه‌های خاکرس از یکدیگر طی آسیاکاری و بی-شکل شدن ساختار آن است.

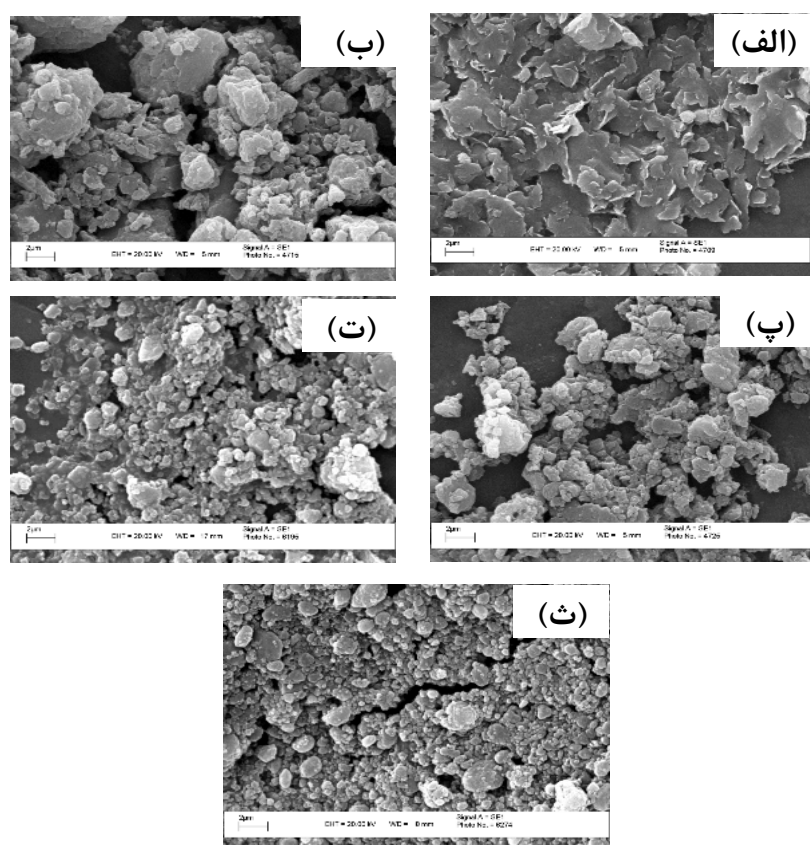
میکرومتر پس از ۶۰ ساعت آسیاکاری به ذراتی با میانگین اندازه‌ای حدود ۱۰۰ نانومتر تبدیل شده‌اند.

برداشت

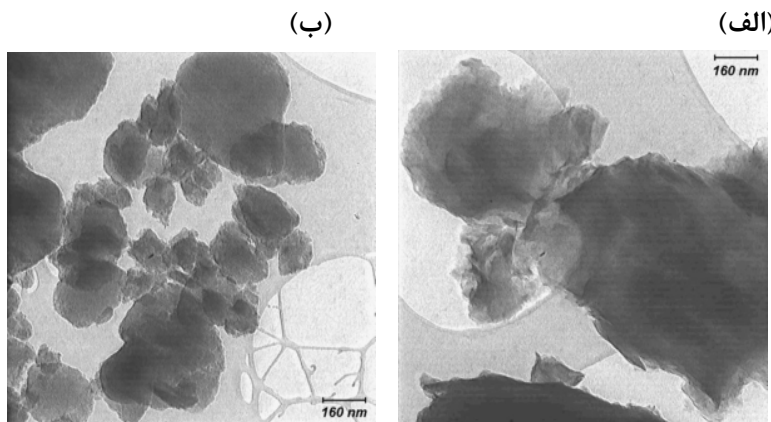
در این پژوهش تغییر ساختار، اندازه‌ی ذرات و ریختشناسی خاکرس مونتموریلوئیت در اثر آسیاکاری مورد بررسی قرار گرفت. برای رسیدن به این هدف خاکرس با یک آسیای ماهواره‌ای پرانرژی در زمان‌های متفاوت، آسیا شده و سپس



شکل ۴ طرح پراش پرتو ایکس مونت موریلوئیت پیش و پس از آسیاکاری (الف) از 2θ برابر با ۴ تا ۴۰ و (ب) از 2θ برابر با ۵/۵ تا 10° .



شکل ۵ تصاویر میکروسکوپ الکترونی روبشی مونت موریلونیت (الف) پیش از آسیاکاری (ب) پس از ۱۰ ساعت، (پ) ۲۰ ساعت، (ت) ۴۰ ساعت و (ث) ۶۰ ساعت آسیاکاری.



شکل ۶ تصاویر میکروسکوپ الکترونی عبوری مونت موریلونیت، پس از (الف): ۱۰ ساعت و (ب): ۶۰ ساعت آسیاکاری.

- برپایه‌ی تصاویر میکروسکوپ الکترونی روبشی که ذرات خاک رس در اثر ۱۰ ساعت آسیاکاری کوچک‌تر شده و به هم جوش خورده‌اند. با ادامه‌ی آسیاکاری، کوچک شدن و انباست ذرات ادامه یافت به‌طوری‌که ذرات کروی شکل به‌نظر می‌رسند.
- تصاویر میکروسکوپ الکترونی عبوری نیز نشان می‌دهد که ذرات خاک رس اولیه با اندازه‌ی ذرات حدود ۴ میکرومتر پس از ۶۰ ساعت آسیاکاری به ذراتی با میانگین اندازه‌ی حدود ۱۰۰ نانومتر تبدیل شده‌اند.

- طرح پراش پرتو ایکس نمونه‌ها کاهش شدید شدت قله‌ها طی آسیاکاری را نشان داد. این کاهش شدت، حاکی از ایجاد بی‌نظمی، جدا شدن ورقه‌های خاک رس از یکدیگر، لایه لایه شدن آنها و در نتیجه کاهش فاز بلورین در نمونه است. همچنین پس از ۱۰ ساعت آسیاکاری، ساختار بلورین خاک رس کاملا از بین رفته و نمونه‌ی ساختاری بی‌شکل پیدا می‌کند. علاوه‌براین پهن‌تر شدن قله‌ها طی آسیاکاری، نشان دهنده کاهش اندازه‌ی ذرات است.

- [۱] اوحدي و.ر، اميري م، "جدازاري اجزاي بنتونيت به منظور دستيابي به نانومونت موريالونيت"، مجله بلورشناسی و کانی شناسی ایران، شماره ۴ (۱۳۹۱) ص ۶۷۷-۶۸۴.
- [۲] Vodović N., Jurina I., Škapin S.D., Sondi, I., "The surface properties of clay minerals modified by intensive dry milling — revisited", Applied Clay Science 48 (2010) 575-580.
- [۳] Valaskova M., Barabaszova K., Hundakova M., Ritz M., Plevova E., "Effects of brief milling and acid treatment on two ordered and disordered kaolinite structures", Applied Clay Science 54 (2011) 70-76.
- [۴] Zhu Y., Edwards G.A., Martin D.J., "Reduction of aspect ratio of fluoromica using high-energy milling", Applied Clay Science 114 (2015) 315-320.
- [۵] Frost R.L., Mako E., Kristof J., Horvath E., Theo Kloprogge J., "Mechanochemical treatment of kaolinite", Journal of Colloid Interface Science 239 (2001) 458-466.
- [۶] Mani G., Fan Q., Ugbolue S.C., Eiff, I.M., "Size reduction of clay particles in nanometer Dimensions", Materials Research Society Symposia Proceeding 740 (2002) 113-118.
- [۷] Hrachova J., Komadel P., Fajnor V.S., "The effect of mechanical treatment on the structure of montmorillonite", Materials Letters 61 (2007) 3361-3365.
- [۸] Lee Y.C., Kuo C.L., Wen S.B., Lin C.P., "Changes of organo-montmorillonite by ball-milling in water and kerosene", Applied Clay Science 36 (2007) 265-270.
- [۹] اوحدي و.ر، رفيعي فهيمه، "تأثير حضور آلانينده‌های فلزی سنگين سرب و روی در آب حفرواي، بر سرشتي هاي فيزيكى و ريز ساختاري کائولينيت"، مجله بلورشناسی و کانی شناسی ایران، شماره ۱ (۱۳۸۸) ص ۵۵-۶۴.
- [۱۰] ZhouL Chen H., Jiang X., LuF., Zhou Y., Yin W., Ji X., "Modification of montmorillonite surfaces using a novel class of cationic gemini surfactants", Journal of Colloid and Interface Science 332 (2009) 16-21.
- [۱۱] Joshi G.V., Patel H.A., Kevadiya B.D., Bajaj H.C., "Montmorillonite intercalated with vitamin B12 as drug carrier", Applied Clay Science 45 (2009) 248-253.
- [۱۲] Perrin-Sarazin F., Sepehr M., Bouaricha S., Denault J., "Potential of Ball Milling to Improve Clay Dispersion in Nanocomposites", Polymer Engineering Science 49 (2009) 651-665.

به طور کلی می‌توان گفت، آسیاکاری پر انرژی بر ساختار خاکرس موثر است، بدین گونه که در مراحل اولیه آسیاکاری سبب لایه لایه کردن صفحات خاک رس، شکستن صفحات، کاهش اندازه ذرات و در نتیجه افزایش مساحت سطح می‌شود. در مراحل بعدی با ادامه آسیاکاری، جوش خوردن ذرات کوچک به یکدیگر، کاهش مساحت سطح، منجر به از بین رفتن ساختار بلوری و ایجاد یک ساختار بی‌شكل می‌شود. از لایه لایه شدن صفحات خاکرس به روش آسیاکاری، می‌توان برای تهیه نانوکامپوزیت‌های پلیمر-خاکرس با ویژگی‌های بهبود یافته و کاربردهای گسترده استفاده کرد.

مراجع

- [۱] معتمدی ف، معاضد ه، جعفرزاده حقیقی فرد ن، اميري م، "بررسی سینتیک و ایزوترم جذب کادمیم از محلولهای آبی توسط نانورس‌ها"، مجله آب و فاضلاب، شماره ۳ (۱۳۹۳) ص ۱۱۸-۱۲۶.
- [۲] Wang L., Chen Z., Wang X., Yan S., Wang J., Fan Y., "Preparations of organo-vermiculite with large interlayer space by hot solution and ball milling methods: A comparative study", Applied Clay Science 51 (2011) 151-157.
- [۳] Masindi V., Gitari M.W., Tutu H., DeBeer M., "Efficiency of ball milled South African bentonite clay for remediation of acid mine drainage", Journal of Water Process Engineering 8 (2015) 227-240.
- [۴] فضل‌علی‌ش، ابراهیمی س، ذاکری‌نیا م، موحدی نائینی س.ع، "پایش انتقال نفت سفید و آب عبوری از خاک سبک حاوی نانورس مونت‌موریالونیت"، نشریه حفاظت منابع آب و خاک، شماره ۱ (۱۳۹۴) ص ۵۵-۶۵.
- [۵] Yoshimoto S., Ohashi F., Kameyama T., "X-ray diffraction studies of intercalation compounds prepared from aniline salts and montmorillonite by mechanochemical processing", Solid State Communications 136 (2005) 251-256.
- [۶] Zhuang G., Zhang Z., Guo J., Liao L., Zhao J., "A new ball milling method to produce organo-montmorillonite from anionic and nonionic surfactants", Applied Clay Science 104 (2015) 18-26.
- [۷] Lombardi B., Baschini M., Torres Sanchez R.M., "Characterization of montmorillonites from bentonite deposits of north Patagonia, Argentina: physicochemical and structural parameter correlation", The Journal of the Argentine Chemical Society 90 (2002) 87-99.
- [۸] رحیمی ق، زمانی ر، پل م.ح، "مطالعه تاثیر افزودن نانورات رسی بر خواص کششی و خمشی سیستم رزین